

## Índice

<b>1</b>	<b>Partícula dentro do ponto quântico - incluindo a segregação</b>	<b>1</b>
1.1	A equação de Schroedinger . . . . .	2
1.2	Definição dos elementos de matriz . . . . .	6
1.3	Cálculo da primeira integral dos elementos de matriz $A_{l'm'n'lmn}$ . . . . .	6
1.4	Cálculo da segunda integral dos elementos de matriz $A_{l'm'n'lmn}$ . . . . .	7
1.4.1	Energia cinética na direção $z$ . . . . .	7
1.4.2	Energia cinética em $r$ e $\theta$ . . . . .	11
1.5	Cálculo da terceira integral dos elementos de matriz $A_{lmnl'm'n'}$ . . . . .	15
1.6	Elementos da matriz $A_{lmnl'm'n'}$ . . . . .	15
<b>2</b>	<b>Ponto quântico tensionado</b>	<b>18</b>
2.1	Potencial de confinamento na banda de condução . . . . .	18
2.2	Potenciais de confinamento na banda de valência . . . . .	20

## 1 Partícula dentro do ponto quântico - incluindo a segregação

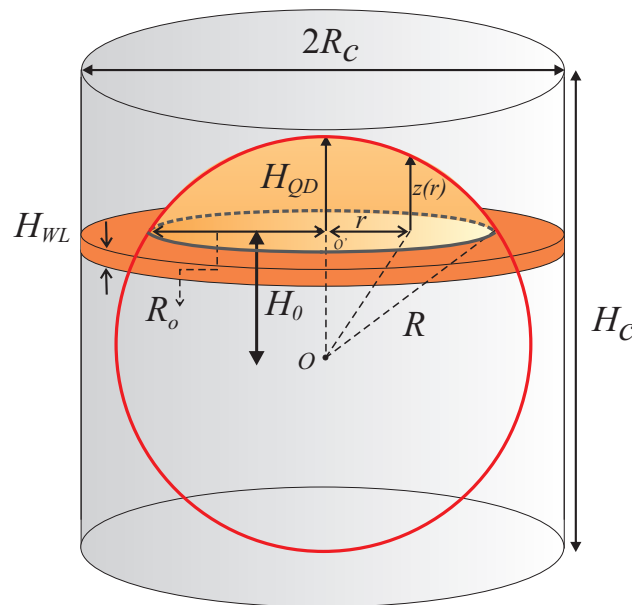


Figura 1: Modelo da arquitetura da estrutura utilizada para o cálculo.

## 1.1 A equação de Schroedinger

Obtivemos um conjunto infinito de funções mutuamente ortogonais para uma partícula dentro de um cilindro com barreiras infinitas de potencial. Agora, vamos desenvolver a função do elétron confinado no sistema *ponto quântico* (QD)+*wetting layer* (WL) por meio da série:

$$\Psi(r, \theta, z) = \sum_{\ell, m, n} a_{\ell mn} \Psi_{\ell mn}(r, \theta, z) \quad (1)$$

onde

$$\Psi_{\ell mn}(r, \theta, z) = \beta_{mn} J_m(k_{mn}r) \sin \left[ \ell \pi \left( \frac{1}{2} - \frac{z}{H_c} \right) \right] e^{im\theta} \quad (2)$$

sendo  $\beta_{mn}$  a constante de normalização de cada autofunção:

$$\beta_{mn} = \sqrt{\frac{2}{H_c \pi [R_c J_{m+1}(k_{mn} R_c)]^2}} \quad (3)$$

onde  $H_c$  é a altura do cilindro externo e  $R_c$  é o raio do cilindro externo. Observe que a condição de contorno utilizada para gerar as funções da base é  $J_m(k_{mn} R_c) = 0$  onde  $R_c$  é o raio do cilindro que constitui a barreira do sistema formado pelo *ponto quântico* + *wetting-layer* (QD+WL). Além disso, escolhemos o domínio  $[-H_c/2, H_c/2]$  e  $[0, R_c]$  para as variações em  $z$  e  $r$ .

Temos agora que resolver a equação de Schroedinger

$$H\Psi = E\Psi, \quad (4)$$

para a Hamiltoniana dada por

$$H = -\frac{\hbar^2}{2} \nabla M^{-1} \nabla + V(z, r) \quad (5)$$

onde o tensor de massa efetiva  $M$  é dado por:

$$M^{-1} = \begin{pmatrix} \frac{1}{m_{xx}^*(r, z)} & 0 & 0 \\ 0 & \frac{1}{m_{yy}^*(r, z)} & 0 \\ 0 & 0 & \frac{1}{m_{zz}^*(r, z)} \end{pmatrix} \quad (6)$$

e o gradiente em coordenadas cilíndricas é dado por (veja a página 91 do Arfken):

$$\nabla = \hat{\rho}_0 \frac{1}{r} \frac{\partial}{\partial r} r + \hat{\theta}_0 \frac{1}{r} \frac{\partial}{\partial \theta} + \hat{k} \frac{\partial}{\partial z} \quad (7)$$

onde  $\hat{\rho}_0$ ,  $\hat{\theta}_0$  e  $\hat{k}$  formam uma base de versores ortonormais. O potencial é dado por

$$V(r, z) = \begin{cases} -V_{0i} & \text{na região do poço (QD+WL)} \\ 0 & \text{fora do poço} \end{cases} \quad (8)$$

A região do poço compreende tanto o ponto quântico quanto a wetting-layer. Substituindo a Eq. 1 na Eq. 4, multiplicando-a pela esquerda por  $\Psi_{l'm'n'}^*$ , e integrando em todo o cilindro, obtemos a equação matricial:

$$(A_{l'm'n'lmn} - E\delta_{mm'}\delta_{nn'}\delta_{ll'}) = 0 \quad (9)$$

onde os elementos de matriz  $A_{l'm'n'lmn}$  são dados por:

$$A_{l'm'n'lmn} = -\frac{\hbar^2}{2} \int_{CV+QD+WL} \Psi_{\ell'm'n'}^* [\nabla M^{-1} \nabla] \Psi_{\ell mn} dV + \int_{CV+QD+WL} \Psi_{\ell'm'n'}^* V(r, z) \Psi_{\ell mn} dV. \quad (10)$$

As integrais na expressão 10 devem ser feitas na região que compreende o QD + a região da WL + a região do cilindro que constitui a barreira do sistema. Neste texto denominaremos a região da barreira por cilindro vazado e denotaremos esta região por CV. Observe que a massa efetiva do elétron assume diferentes valores quando o elétron encontra-se na região do cilindro vazado (barreira) ou dentro do ponto quântico ou da WL. Isto significa que o tensor de massa efetiva do elétron depende de  $z$  e  $r$ , ou seja  $M^{-1}(z, r)$ . Antes de continuar, vamos escrever os elementos de matriz de uma forma mais conveniente para os cálculos. Vamos integrar por partes o primeiro termo da expressão anterior.

$$A_{l'm'n'lmn} = -\frac{\hbar^2}{2} \left\{ \Psi_{\ell'm'n'}^* M^{-1} \nabla \Psi_{\ell mn} \right\}_{r=0, \theta=0, z=-H_c/2}^{r=R_c, \theta=2\pi, z=+H_c/2} - \frac{\hbar^2}{2} \left\{ - \int_{CV+QD+WL} \nabla \Psi_{\ell'm'n'}^* M^{-1} \nabla \Psi_{\ell mn} dV \right\} + \int_{CV+QD+WL} \Psi_{\ell'm'n'}^* V(r, z) \Psi_{\ell mn} dV. \quad (11)$$

O primeiro termo do lado direito da expressão anterior é nulo pois, por construção, as autofunções se anulam quando avaliadas na superfície do cilindro, isto é, em  $r = R_c$ , e  $z = \pm H_c/2$ . Então, os elementos de matriz serão calculados como:

$$A_{l'm'n'lmn} = +\frac{\hbar^2}{2} \int_{CV+QD+WL} \nabla \Psi_{\ell'm'n'}^* M^{-1} \nabla \Psi_{\ell mn} dV + \int_{CV+QD+WL} \Psi_{\ell'm'n'}^* V(r, z) \Psi_{\ell mn} dV. \quad (12)$$

Para contornar o problema da descontinuidade da massa efetiva e do potencial nas diferentes regiões do sistema, vamos assumir inicialmente que a massa do elétron é constante em todo o sistema formado pelo cilindro vazado+ponto quântico+WL. Em nossos cálculos vamos assumir que a tensão no material da barreira de GaAs não é significativa. Desta forma, podemos assumir que no GaAs  $m_{xx}^* = m_{yy}^* = m_{zz}^* = m_B^*$ , e vamos considerar que nas três regiões (CV+QD+WL) a massa efetiva do elétron é a mesma e que seu valor é igual à massa do elétron na barreira,  $m_B^*$ . Vamos considerar também que o potencial é nulo em todo o cilindro. Para levar em conta que a massa efetiva muda de valor nas diferentes regiões do sistema, vamos **subtrair** a integral na região do QD+WL onde usamos a massa  $m_B$ , e em seguida vamos **adicionar** a integral na região do QD+WL usando as massas adequadas em cada região. O mesmo tipo de truque deve ser feito para corrigir o potencial. Desta forma podemos escrever os elementos de matriz  $A_{l'm'n'lmn}$  como:

$$\begin{aligned}
A_{l'm'n'lmn} = & + \frac{\hbar^2}{2m_B^*} \int_{\text{Cilindro}} \nabla \Psi_{\ell'm'n'}^* \cdot \nabla \Psi_{\ell mn} dV \\
& - \frac{\hbar^2}{2m_B^*} \int_{QD+WL} \nabla \Psi_{\ell'm'n'}^* \cdot \nabla \Psi_{\ell mn} dV \\
& + \frac{\hbar^2}{2} \int_{QD+WL} \nabla \Psi_{\ell'm'n'}^* M^{-1} \nabla \Psi_{\ell mn} dV \\
& + \int_{QD+WL} \Psi_{\ell'm'n'}^* V(r, z) \Psi_{\ell mn} dV.
\end{aligned} \tag{13}$$

que pode ser reescrita como:<sup>1</sup>

$$\begin{aligned}
A_{l'm'n'lmn} = & - \frac{\hbar^2}{2m_B^*} \int_{\text{Cilindro}} \Psi_{\ell'm'n'}^* \nabla^2 \Psi_{\ell mn} dV \\
& - \frac{\hbar^2}{2m_B^*} \int_{QD+WL} \nabla \Psi_{\ell'm'n'}^* \cdot \nabla \Psi_{\ell mn} dV \\
& + \frac{\hbar^2}{2} \int_{QD+WL} \nabla \Psi_{\ell'm'n'}^* \cdot \left[ \frac{1}{m_{xx}^*(r, z)} \frac{\partial \Psi_{\ell mn}}{\partial r} \hat{\rho}_0 + \frac{1}{m_{yy}^*(r, z)} \frac{1}{r} \frac{\partial \Psi_{\ell mn}}{\partial \theta} \hat{\theta}_0 + \frac{1}{m_{zz}^*(r, z)} \frac{\partial \Psi_{\ell mn}}{\partial z} \hat{k}_0 \right] dV \\
& + \int_{QD+WL} \Psi_{\ell'm'n'}^* [V(r, z)] \Psi_{\ell mn} dV
\end{aligned} \tag{14}$$

ou

$$\begin{aligned}
A_{l'm'n'lmn} = & - \frac{\hbar^2}{2m_B^*} \int_{\text{Cilindro}} \Psi_{\ell'm'n'}^* \nabla^2 \Psi_{\ell mn} dV \\
& - \frac{\hbar^2}{2m_B^*} \int_{QD+WL} \nabla \Psi_{\ell'm'n'}^* \cdot \nabla \Psi_{\ell mn} dV \\
& + \frac{\hbar^2}{2} \int_{QD+WL} \left[ \frac{\partial \Psi_{\ell'm'n'}}{\partial r} \hat{\rho}_0 + \frac{1}{r} \frac{\partial \Psi_{\ell'm'n'}}{\partial \theta} \hat{\theta}_0 + \frac{\partial \Psi_{\ell'm'n'}}{\partial z} \hat{k}_0 \right] \\
& \cdot \left[ \frac{1}{m_{xx}(r, z)} \frac{\partial \Psi_{\ell mn}}{\partial r} \hat{\rho}_0 + \frac{1}{m_{yy}(r, z)} \frac{1}{r} \frac{\partial \Psi_{\ell mn}}{\partial \theta} \hat{\theta}_0 + \frac{1}{m_{zz}(r, z)} \frac{\partial \Psi_{\ell mn}}{\partial z} \hat{k}_0 \right] dV \\
& + \int_{QD+WL} \Psi_{\ell'm'n'}^* [V(r, z)] \Psi_{\ell mn} dV
\end{aligned} \tag{15}$$

Fazendo o produto escalar na expressão anterior obtemos:<sup>2</sup>

<sup>1</sup>Observe a mudança de sinal nas expressões 13 e 14 pois  $\int \nabla \Psi^* \cdot \nabla \Psi dV = - \int \Psi^* \nabla^2 \Psi dV$ .

<sup>2</sup>Na expressão 15 temos o produto escalar do gradiente das funções de onda  $\nabla \Psi_{\ell'm'n'}^*$  e  $\nabla \Psi_{\ell mn}$ , onde o gradiente em coordenadas cilíndricas é dado por (veja a página 91 do Arfken):  $\nabla = \hat{\rho}_0 \frac{1}{r} \frac{\partial}{\partial r} r + \hat{\theta}_0 \frac{1}{r} \frac{\partial}{\partial \theta} + \hat{k} \frac{\partial}{\partial z}$  onde  $\hat{\rho}_0$ ,  $\hat{\theta}_0$  e  $\hat{k}$  formam uma base de versores ortonormais.

$$\begin{aligned}
A_{l'm'n'lmn} = & -\frac{\hbar^2}{2m_B^*} \int_{\text{Cilindro}} \Psi_{\ell'm'n'}^* \nabla^2 \Psi_{\ell mn} dV \\
& -\frac{\hbar^2}{2m_B^*} \int_{QD+WL} \nabla \Psi_{\ell'm'n'}^* \cdot \nabla \Psi_{\ell mn} dV \\
& +\frac{\hbar^2}{2} \int_{QD+WL} \left[ \frac{\partial \Psi_{\ell'm'n'}^*}{\partial r} \frac{1}{m_{xx}^*(r, z)} \frac{\partial \Psi_{\ell mn}}{\partial r} + \frac{1}{m_{yy}^*(r, z)} \frac{1}{r^2} \frac{\partial \Psi_{\ell'm'n'}^*}{\partial \theta} \frac{\partial \Psi_{\ell mn}}{\partial \theta} \right. \\
& \left. + \frac{\partial \Psi_{\ell'm'n'}^*}{\partial z} \frac{1}{m_{zz}^*(r, z)} \frac{\partial \Psi_{\ell mn}}{\partial z} \right] dV \\
& + \int_{QD+WL} \Psi_{\ell'm'n'}^* [V(r, z)] \Psi_{\ell mn} dV
\end{aligned} \tag{16}$$

## 1.2 Definição dos elementos de matriz

Assumindo que a massa dentro do ponto quântico e dentro da WL não dependa de  $r$  e denominando  $m_{xx}(z) = m_{yy}(z) = m_1$  e  $m_{zz}(z) = m_2$  podemos reescrever a expressão anterior como:

$$\begin{aligned}
A_{l'm'n'lmn} = & -\frac{\hbar^2}{2m_B^*} \int_{Cilindro} \Psi_{\ell'm'n'}^* \nabla^2 \Psi_{\ell mn} dV \\
& -\frac{\hbar^2}{2m_B^*} \int_{QD+WL} \nabla \Psi_{\ell'm'n'}^* \cdot \nabla \Psi_{\ell mn} dV \\
& +\frac{\hbar^2}{2} \int_{QD+WL} \left[ \frac{1}{m_1(z)} \frac{\partial \Psi_{\ell'm'n'}}{\partial r} \frac{\partial \Psi_{\ell mn}}{\partial r} \right. \\
& +\frac{1}{m_1(z)} \frac{1}{r^2} \frac{\partial \Psi_{\ell'm'n'}}{\partial \theta} \frac{\partial \Psi_{\ell mn}}{\partial \theta} + \frac{1}{m_2(z)} \frac{\partial \Psi_{\ell'm'n'}}{\partial z} \frac{\partial \Psi_{\ell mn}}{\partial z} \left. \right] dV \\
& +\int_{QD+WL} \Psi_{\ell'm'n'}^* [V(r, z)] \Psi_{\ell mn} dV
\end{aligned} \tag{17}$$

ou

$$\begin{aligned}
A_{l'm'n'lmn} = & -\underbrace{\frac{\hbar^2}{2m_B^*} \int_{Cilindro} \Psi_{\ell'm'n'}^* \nabla^2 \Psi_{\ell mn} dV}_{(I)} \\
& +\frac{\hbar^2}{2} \int_{QD+WL} \left[ \left( \frac{1}{m_1(z)} - \frac{1}{m_B^*} \right) \frac{\partial \Psi_{\ell'm'n'}}{\partial r} \frac{\partial \Psi_{\ell mn}}{\partial r} + \right. \\
& +\underbrace{\left( \frac{1}{m_1(z)} - \frac{1}{m_B^*} \right) \frac{1}{r^2} \frac{\partial \Psi_{\ell'm'n'}}{\partial \theta} \frac{\partial \Psi_{\ell mn}}{\partial \theta} + \left( \frac{1}{m_2(z)} - \frac{1}{m_B^*} \right) \frac{\partial \Psi_{\ell'm'n'}}{\partial z} \frac{\partial \Psi_{\ell mn}}{\partial z}}_{(II)} \left. \right] dV \\
& +\underbrace{\int_{QD+WL} \Psi_{\ell'm'n'}^* [V(r, z)] \Psi_{\ell mn} dV}_{(III)}
\end{aligned} \tag{18}$$

Vamos agora avaliar cada uma das integrais que aparecem na equação 18.

## 1.3 Cálculo da primeira integral dos elementos de matriz $A_{l'm'n'lmn}$

$$(I) = -\frac{\hbar^2}{2m_B^*} \int_{Cilindro} \Psi_{\ell'm'n'}^* \nabla^2 \Psi_{\ell mn} dV \tag{19}$$

A integral na expressão anterior é simplesmente a energia da partícula livre dentro do cilindro com potencial nulo, dada pela expressão ???. Desta forma teremos:

$$(I) = + \left[ \frac{\hbar^2}{2m_B^*} \left( \frac{\ell^2 \pi^2}{H_c^2} + \frac{\alpha_{mn}^2}{\rho_0^2} \right) \right] \delta_{\ell\ell'} \delta_{mm'} \delta_{nn'}. \tag{20}$$

## 1.4 Cálculo da segunda integral dos elementos de matriz $A_{l'm'n'lmn}$

Vamos dividir a integral  $II$  na equação 18 em duas partes:

$$(II) = (i) + (ii) \quad (21)$$

onde

$$(i) = \langle \Psi_{l'm'n'} | E_c^z | \Psi_{lmn} \rangle = + \int_{QD+WL} \left( \frac{\hbar^2}{2m_2^*(z)} - \frac{\hbar^2}{2m_B^*} \right) \frac{\partial \Psi_{l'm'n'}^*}{\partial z} \frac{\partial \Psi_{lmn}}{\partial z} dV \quad (22)$$

$$(ii) = \left\langle \Psi_{l'm'n'} \left| E_c^{r,\theta} \right| \Psi_{lmn} \right\rangle = + \int_{QD+WL} \left( \frac{\hbar^2}{2m_1^*(z)} - \frac{\hbar^2}{2m_B^*} \right) \frac{\partial \Psi_{l'm'n'}^*}{\partial r} \frac{\partial \Psi_{lmn}}{\partial r} dV \\ + \int_{QD+WL} \left( \frac{\hbar^2}{2m_1^*(z)} - \frac{\hbar^2}{2m_B^*} \right) \frac{1}{r} \frac{\partial \Psi_{l'm'n'}^*}{\partial \theta} \frac{1}{r} \frac{\partial \Psi_{lmn}}{\partial \theta} dV \quad (23)$$

Vamos desenvolver as Eqs. 22 e 23.

### 1.4.1 Energia cinética na direção $z$

Substituindo a função de onda (veja a Eq. 2) na Eq. 22 teremos:

$$(i) = \langle \Psi_{l'm'n'} | E_c^z | \Psi_{lmn} \rangle = + \beta_{m'n'}^* \beta_{mn} \int_{QD+WL} J_{m'}(k_{m'n'}r) J_m(k_{mn}r) r dr \\ \times \int_{QD+WL} \left( \frac{\hbar^2}{2m_2^*(z)} - \frac{\hbar^2}{2m_B^*} \right) \frac{\partial}{\partial z} \sin \left[ \ell' \pi \left( \frac{1}{2} - \frac{z}{H_c} \right) \right] \frac{\partial}{\partial z} \sin \left[ \ell \pi \left( \frac{1}{2} - \frac{z}{H_c} \right) \right] dz \\ \times \underbrace{\int_{QD+WL} e^{-im'\theta} e^{im\theta} d\theta}_{2\pi} \quad (24)$$

Devido à integral na variável  $\theta$ , os elementos de matriz da energia cinética na direção  $z$  serão não nulos apenas quando  $m' = m$  (veja a Eq. ??). Então, o elemento de matriz da energia cinética na direção  $z$  fica:

$$(i) = + \beta_{mn'}^* \beta_{mn} \delta_{mm'} \int_{QD+WL} 2\pi r dr J_m(k_{mn'}r) J_m(k_{mn}r) \times \\ \times \int_{QD+WL} \left( \frac{\hbar^2}{2m_2^*(z)} - \frac{\hbar^2}{2m_B^*} \right) \frac{\partial}{\partial z} \sin \left[ \ell' \pi \left( \frac{1}{2} - \frac{z}{H_c} \right) \right] \frac{\partial}{\partial z} \sin \left[ \ell \pi \left( \frac{1}{2} - \frac{z}{H_c} \right) \right] dz \quad (25)$$

ou

$$(i) = + \beta_{mn'}^* \beta_{mn} \delta_{mm'} \left( \frac{\ell' \pi}{H_c} \right) \left( \frac{\ell \pi}{H_c} \right) \int_{QD+WL} 2\pi r dr J_m(k_{mn'}r) J_m(k_{mn}r) \times \\ \times \int_{QD+WL} \left( \frac{\hbar^2}{2m_2^*(z)} - \frac{\hbar^2}{2m_B^*} \right) \cos \left[ \ell' \pi \left( \frac{1}{2} - \frac{z}{H_c} \right) \right] \cos \left[ \ell \pi \left( \frac{1}{2} - \frac{z}{H_c} \right) \right] dz \quad (26)$$

As integrais na expressão anterior devem ser calculadas em duas diferentes regiões: a região do QD e a região da WL. A partir daqui, devemos fazer considerações sobre a distribuição da

concentração de índio dentro de cada região, ou seja, da WL e do ponto quântico para escrever a dependência da massa com a concentração de índio e também definir os limites de integração. Podemos assumir, por exemplo, que a concentração de índio varia linearmente com a concentração ou que ela varia de monocamada para monocamada.

Nesta formulação vamos considerar que a concentração de índio varia de uma monocamada para outra monocamada, mas em uma dada monocamada a concentração é constante. A WL será partida em  $M$  monocamadas e a região do QD em  $N$  monocamadas, ou seja,

$$M = \frac{D}{\Delta L}, \quad \text{sendo } D \text{ a espessura da WL} \quad (27)$$

e

$$N = \frac{H_{QD}}{\Delta L}, \quad \text{sendo } H_{QD} \text{ a altura do QD.} \quad (28)$$

Com estas definições a expressão 26 pode ser reescrita como:

$$\begin{aligned} (i) = & +\beta_{mn'}^* \beta_{mn} \delta_{mm'} \left(\frac{\ell' \pi}{H_c}\right) \left(\frac{\ell \pi}{H_c}\right) \int_0^{R_c} 2\pi r dr J_m(k_{mn'} r) J_m(k_{mn} r) \times \\ & \times \left\{ \sum_{i=1}^{i=M} \left( \frac{\hbar^2}{2m_{2i}^*(z)} - \frac{\hbar^2}{2m_B^*} \right) \underbrace{\int_{H_0-D+(i-1)\Delta L}^{H_0-D+i\Delta L} \cos \left[ \ell' \pi \left( \frac{1}{2} - \frac{z}{H_c} \right) \right] \cos \left[ \ell \pi \left( \frac{1}{2} - \frac{z}{H_c} \right) \right] dz}_{F_{\ell' \ell}^{WL}} \right\} + \\ & + \beta_{mn'}^* \beta_{mn} \delta_{mm'} \left(\frac{\ell' \pi}{H_c}\right) \left(\frac{\ell \pi}{H_c}\right) \sum_{j=1}^{j=N} \left\{ \int_0^{R_j} 2\pi r dr J_m(k_{mn'} r) J_m(k_{mn} r) \times \right. \\ & \times \left. \left( \frac{\hbar^2}{2m_{2j}^*(z)} - \frac{\hbar^2}{2m_B^*} \right) \underbrace{\int_{H_0+(j-1)\Delta L}^{H_0+j\Delta L} x \cos \left[ \ell' \pi \left( \frac{1}{2} - \frac{z}{H_c} \right) \right] \cos \left[ \ell \pi \left( \frac{1}{2} - \frac{z}{H_c} \right) \right] dz}_{F_{\ell' \ell}^{QD}} \right\} + \end{aligned} \quad (29)$$

onde os limites de integração na variável  $r$  na região do QD são dados por:

$$R_j = \sqrt{R^2 - [H_0 + j\Delta L]^2} \quad (30)$$

e

$$z(r) = \sqrt{R^2 - r^2} - H_0 \quad (31)$$

onde  $R$  é o raio da esfera inserida dentro do cilindro para definir a geometria do ponto quântico (veja a figura 2). **Observe que na equação 29 as massas dependem de  $z$  mas podem sair das integrais pois em cada monocamada a massa é constante e os limites de integração são de monocamada em monocamada.**



No lado direito da Eq. 29, a primeira integral em  $z$  refere-se à integral na região da WL e a segunda e a terceira integrais em  $z$  contém as integrais na região do QD. Nesta expressão,  $H_c$  é a altura e  $R_c$  é o raio do cilindro que representa a barreira,  $m_{2i}^* = m_{zz}^*(i)$  é a massa efetiva do elétron em cada monocamada da WL,  $m_{2j}^* = m_{zz}^*(j)$  é a massa efetiva dentro de cada monocamada do QD,  $\Delta L$  é a espessura de uma monocamada do material que forma a WL ou o QD (para o InAs,  $\Delta L \approx 2.8 \text{ \AA}$ ). Mostramos na Figura 2, todos os símbolos que aparecem na equação 29 e os limites de integração que serão usados no cálculo das integrais na região da WL e na região do QD.

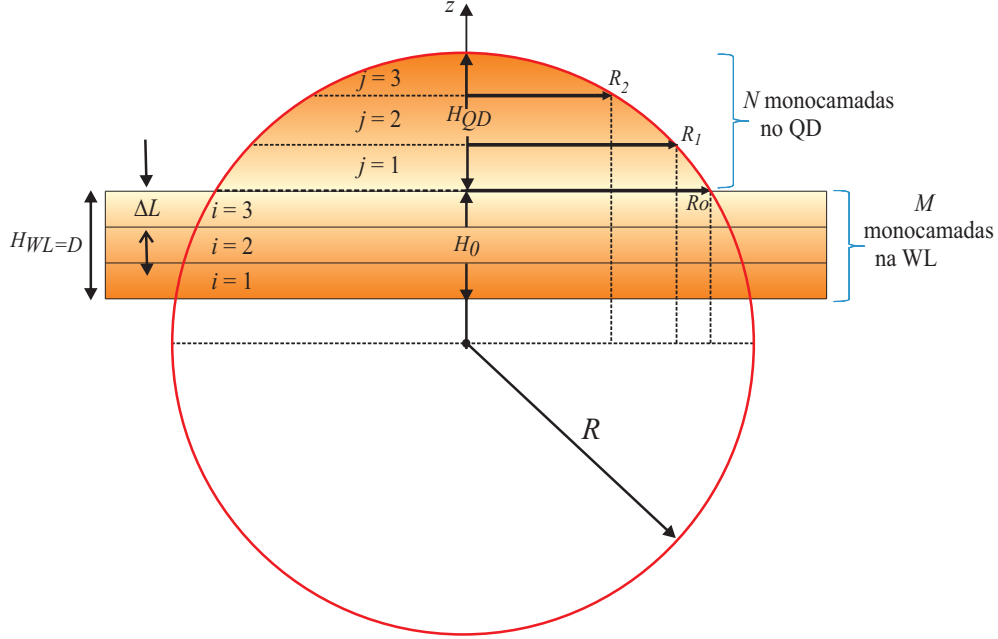


Figura 2: Modelo da arquitetura da estrutura utilizada para o cálculo na região do QD e da WL, mostrando N-monocamadas dentro do QD e M-monocamadas dentro da WL sendo que a espessura de cada monocamada é  $\Delta L$ .

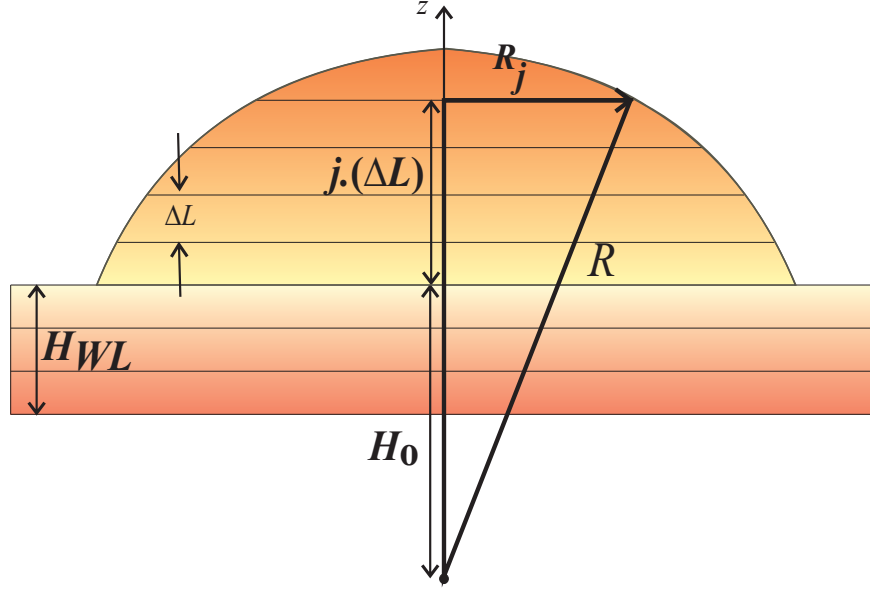


Figura 3: Esquema mostrando o cálculo de  $R_j$  da equação 30.

## Cálculo das integrais $F_{\ell'\ell}^{WL}$

As integrais  $F_{\ell'\ell}^{WL}$  na região da wetting-layer são dadas por:

- para  $\ell' \neq \ell$

$$\begin{aligned}
 F_{\ell'\ell}^{WL}(i) = & + \left( \frac{H_c}{2} \right) \frac{\sin \left[ \pi(\ell' + \ell) \left( \frac{1}{2} - \frac{(H_0 - D + (i-1)\Delta L)}{H_c} \right) \right]}{(\ell' + \ell)\pi} \\
 & + \left( \frac{H_c}{2} \right) \frac{\sin \left[ \pi(\ell' - \ell) \left( \frac{1}{2} - \frac{(H_0 - D + (i-1)\Delta L)}{H_c} \right) \right]}{(\ell' - \ell)\pi} \\
 & - \left( \frac{H_c}{2} \right) \frac{\sin \left[ \pi(\ell' - \ell) \left( \frac{1}{2} - \frac{(H_0 - D + i\Delta L)}{H_c} \right) \right]}{(\ell' - \ell)\pi} \\
 & - \left( \frac{H_c}{2} \right) \frac{\sin \left[ \pi(\ell' + \ell) \left( \frac{1}{2} - \frac{(H_0 - D + i\Delta L)}{H_c} \right) \right]}{(\ell' + \ell)\pi}
 \end{aligned} \tag{32}$$

- para  $\ell' = \ell$

$$\begin{aligned}
 F_{\ell\ell}^{WL}(i) = & \frac{H_c}{4\ell\pi} \sin \left[ \pi\ell \left( \frac{H_c - 2(H_0 - D + (i-1)\Delta L)}{H_c} \right) \right] \\
 & - \frac{H_c}{4\ell\pi} \sin \left[ \pi\ell \left( \frac{H_c - 2(H_0 - D + i\Delta L)}{H_c} \right) \right] + \frac{\Delta L}{2}
 \end{aligned} \tag{33}$$

As equações 32 e 33 foram conferidas no MATHEMATICA e estão apresentadas no final do texto (Figs. 8 e ??) para facilitar qualquer checagem.

## Cálculo das integrais $F_{\ell'\ell}^{QD}$

Vamos agora calcular a integral  $F_{\ell'\ell}^{QD}$ . Estas integrais são parecidas com as integrais  $F_{\ell'\ell}^{WL}$  da região da WL (eqs. 32 e 33), apenas os limites de integração devem mudar.

- para  $\ell' \neq \ell$

$$\begin{aligned}
 F_{\ell'\ell}^{QD}(j) = & + \left(\frac{H_c}{2}\right) \frac{\sin \left[ \pi(\ell' + \ell) \left( \frac{1}{2} - \frac{(H_0 + (j-1)\Delta L)}{H_c} \right) \right]}{(\ell' + \ell)\pi} \\
 & + \left(\frac{H_c}{2}\right) \frac{\sin \left[ \pi(\ell' - \ell) \left( \frac{1}{2} - \frac{(H_0 + (j-1)\Delta L)}{H_c} \right) \right]}{(\ell' - \ell)\pi} \\
 & - \left(\frac{H_c}{2}\right) \frac{\sin \left[ \pi(\ell' - \ell) \left( \frac{1}{2} - \frac{(H_0 + j\Delta L)}{H_c} \right) \right]}{(\ell' - \ell)\pi} \\
 & - \left(\frac{H_c}{2}\right) \frac{\sin \left[ \pi(\ell' + \ell) \left( \frac{1}{2} - \frac{(H_0 + j\Delta L)}{H_c} \right) \right]}{(\ell' + \ell)\pi}
 \end{aligned} \tag{34}$$

- para  $\ell' = \ell$

$$\begin{aligned}
 F_{\ell\ell}^{QD}(j) = & \frac{H_c}{4\ell\pi} \sin \left[ \pi\ell \left( \frac{H_c - 2(H_0 + (j-1)\Delta L)}{H_c} \right) \right] \\
 & - \frac{H_c}{4\ell\pi} \sin \left[ \pi\ell \left( \frac{H_c - 2(H_0 + j\Delta L)}{H_c} \right) \right] + \frac{\Delta L}{2}
 \end{aligned} \tag{35}$$

### 1.4.2 Energia cinética em $r$ e $\theta$

Vamos agora calcular a integral relacionada com a Eq. 23 que pode ser desmembrada em duas partes como:

$$\begin{aligned}
 (ii) = & + \left( \frac{\hbar^2}{2m_1^*(z)} - \frac{\hbar^2}{2m_B^*} \right) \beta_{m'n'}^* \beta_{mn} \times \int_{QD+WL} \frac{\partial J_{m'}(k_{m'n'}r)}{\partial r} \frac{\partial J_m(k_{mn}r)}{\partial r} r dr \times \\
 & \times \int_{QD+WL} \sin \left[ \ell'\pi \left( \frac{1}{2} - \frac{z}{H_c} \right) \right] \sin \left[ \ell\pi \left( \frac{1}{2} - \frac{z}{H_c} \right) \right] dz \times \int_{QD+WL} e^{-im'\theta} e^{im\theta} d\theta + \\
 & + \left( \frac{\hbar^2}{2m_1^*(z)} - \frac{\hbar^2}{2m_B^*} \right) \beta_{m'n'}^* \beta_{mn} \times \int_{QD+WL} J_{m'}(k_{m'n'}r) J_m(k_{mn}r) r dr \times \\
 & \times \int_{QD+WL} \sin \left[ \ell'\pi \left( \frac{1}{2} - \frac{z}{H_c} \right) \right] \sin \left[ \ell\pi \left( \frac{1}{2} - \frac{z}{H_c} \right) \right] dz \times \int_{QD+WL} \frac{1}{r} \frac{\partial e^{-im'\theta}}{\partial \theta} \frac{1}{r} \frac{\partial e^{im\theta}}{\partial \theta} d\theta
 \end{aligned} \tag{36}$$

Devido à integral na variável  $\theta$ , os elementos de matriz serão não nulos apenas quando  $m' = m$  (veja a Eq. ??). Então, o elemento de matriz da energia cinética nas direções  $r$  e  $\theta$  fica:

$$\begin{aligned}
(ii) = & + \left( \frac{\hbar^2}{2m_1^*(z)} - \frac{\hbar^2}{2m_B^*} \right) \beta_{mn'}^* \beta_{mn} \delta_{mm'} \int_{QD+WL} 2\pi \frac{\partial J_m(k_{mn'}r)}{\partial r} \frac{\partial J_m(k_{mn}r)}{\partial r} r dr \times \\
& \times \int_{QD+WL} \sin \left[ \ell' \pi \left( \frac{1}{2} - \frac{z}{H_c} \right) \right] \sin \left[ \ell \pi \left( \frac{1}{2} - \frac{z}{H_c} \right) \right] dz + \\
& + \left( \frac{\hbar^2}{2m_1^*(z)} - \frac{\hbar^2}{2m_B^*} \right) \beta_{mn'}^* \beta_{mn} \delta_{mm'} (\textcolor{red}{m})^2 \int_{QD+WL} 2\pi \frac{\textcolor{red}{J}_m(k_{mn'}r)}{r} \frac{\textcolor{blue}{J}_m(k_{mn}r)}{r} r dr \times \\
& \times \int_{QD+WL} \sin \left[ \ell' \pi \left( \frac{1}{2} - \frac{z}{H_c} \right) \right] \sin \left[ \ell \pi \left( \frac{1}{2} - \frac{z}{H_c} \right) \right] dz
\end{aligned} \tag{37}$$

Para calcular a segunda integral em  $r$  na expressão anterior vamos utilizar a propriedade (pag. 362 do Butkov):

$$2m \frac{J_m(x)}{x} = J_{m+1}(x) + J_{m-1}(x) \tag{38}$$

que nos dá

$$\frac{\textcolor{red}{J}_m(k_{mn'}r)}{r} = \frac{k_{mn'}}{2m} [J_{m+1}(k_{mn'}r) + J_{m-1}(k_{mn'}r)] \tag{39}$$

e

$$\frac{\textcolor{blue}{J}_m(k_{mn}r)}{r} = \frac{k_{mn}}{2m} [J_{m+1}(k_{mn}r) + J_{m-1}(k_{mn}r)] \tag{40}$$

Substituindo as expressões dadas nas eqs. 39 e 40 nos termos coloridos da eq. 37 ficamos com:

$$\begin{aligned}
(ii) = & + \left( \frac{\hbar^2}{2m_1^*(z)} - \frac{\hbar^2}{2m_B^*} \right) \beta_{mn'}^* \beta_{mn} \delta_{mm'} \int_{QD+WL} 2\pi \frac{\partial J_m(k_{mn'}r)}{\partial r} \frac{\partial J_m(k_{mn}r)}{\partial r} r dr \times \\
& \times \int_{QD+WL} \sin \left[ \ell' \pi \left( \frac{1}{2} - \frac{z}{H_c} \right) \right] \sin \left[ \ell \pi \left( \frac{1}{2} - \frac{z}{H_c} \right) \right] dz + \\
& + \left( \frac{\hbar^2}{2m_1^*(z)} - \frac{\hbar^2}{2m_B^*} \right) \beta_{mn'}^* \beta_{mn} \delta_{mm'} (\textcolor{red}{m})^2 \frac{k_{mn'}}{2m} \frac{k_{mn}}{2m} \times \\
& \times \int_{QD+WL} 2\pi [J_{m+1}(\textcolor{red}{k}_{mn'}r) + J_{m-1}(\textcolor{red}{k}_{mn'}r)] [\textcolor{blue}{J}_{m+1}(k_{mn}r) + J_{m-1}(k_{mn}r)] r dr \times \\
& \times \int_{QD+WL} \sin \left[ \ell' \pi \left( \frac{1}{2} - \frac{z}{H_c} \right) \right] \sin \left[ \ell \pi \left( \frac{1}{2} - \frac{z}{H_c} \right) \right] dz
\end{aligned} \tag{41}$$

Vamos agora calcular as derivadas das funções de Bessel na primeira integral em  $r$  da expressão 41 usando a propriedade (pag. 362 do Butkov):

$$\frac{dJ_m(x)}{dx} = \frac{[J_{m-1}(x) - J_{m+1}(x)]}{2} \tag{42}$$

Usando a expressão anterior e lembrando que  $x = k_{mn'}r$  teremos:

$$\begin{aligned}
\frac{dJ_m(k_{mn'}r)}{dr} &= \frac{dJ(x)}{dx} \frac{dx}{dr} = \frac{k_{mn'}}{2} [J_{m-1}(k_{mn'}r) - J_{m+1}(k_{mn'}r)] \\
\frac{dJ_m(k_{mn}r)}{dr} &= \frac{dJ(x)}{dx} \frac{dx}{dr} = \frac{k_{mn}}{2} [J_{m-1}(k_{mn}r) - J_{m+1}(k_{mn}r)]
\end{aligned} \tag{43}$$

Substituindo as expressões dadas em 43 na expressão 41 ficamos com:

$$\begin{aligned}
(ii) = & + \left( \frac{\hbar^2}{2m_1^*(z)} - \frac{\hbar^2}{2m_B^*} \right) \beta_{mn'}^* \beta_{mn} \delta_{mm'} \frac{k_{mn'}}{2} \frac{k_{mn}}{2} \times \\
& \times \int_{QD+WL} 2\pi [J_{m-1}(k_{mn'}r) - J_{m+1}(k_{mn'}r)] [J_{m-1}(k_{mn}r) - J_{m+1}(k_{mn}r)] r dr \times \\
& \times \int_{QD+WL} \sin \left[ \ell' \pi \left( \frac{1}{2} - \frac{z}{H_c} \right) \right] \sin \left[ \ell \pi \left( \frac{1}{2} - \frac{z}{H_c} \right) \right] dz + \\
& + \left( \frac{\hbar^2}{2m_1^*(z)} - \frac{\hbar^2}{2m_B^*} \right) \beta_{mn'}^* \beta_{mn} \delta_{mm'} \frac{k_{mn'}}{2} \frac{k_{mn}}{2} \times \\
& \times \int_{QD+WL} 2\pi [J_{m+1}(k_{mn'}r) + J_{m-1}(k_{mn'}r)] [J_{m+1}(k_{mn}r) + J_{m-1}(k_{mn}r)] r dr \times \\
& \times \int_{QD+WL} \sin \left[ \ell' \pi \left( \frac{1}{2} - \frac{z}{H_c} \right) \right] \sin \left[ \ell \pi \left( \frac{1}{2} - \frac{z}{H_c} \right) \right] dz
\end{aligned} \tag{44}$$

Simplificando as expressões anteriores, a eq. 44 reduz-se à:

$$\begin{aligned}
(ii) = & + \left( \frac{\hbar^2}{2m_1^*(z)} - \frac{\hbar^2}{2m_B^*} \right) \beta_{mn'}^* \beta_{mn} \delta_{mm'} \frac{k_{mn'}}{2} \frac{k_{mn}}{2} \times \\
& \times \int_{QD+WL} 2 \{ [J_{m-1}(k_{mn'}r) J_{m-1}(k_{mn}r)] + [J_{m+1}(k_{mn'}r) J_{m+1}(k_{mn}r)] \} 2\pi r dr \times \\
& \times \int_{QD+WL} \sin \left[ \ell' \pi \left( \frac{1}{2} - \frac{z}{H_c} \right) \right] \sin \left[ \ell \pi \left( \frac{1}{2} - \frac{z}{H_c} \right) \right] dz
\end{aligned} \tag{45}$$

As integrais na expressão 45 devem ser feitas na região que compreende o QD + a WL. Com isso a expressão anterior pode ser reescrita como:

$$\begin{aligned}
(ii) = & + \beta_{mn'}^* \beta_{mn} \delta_{mm'} \frac{k_{mn'} k_{mn}}{2} \times \\
& \times \int_0^{R_c} 2\pi r dr \{ [J_{m-1}(k_{mn'}r) J_{m-1}(k_{mn}r)] + [J_{m+1}(k_{mn'}r) J_{m+1}(k_{mn}r)] \} \times \\
& \times \left( \frac{\hbar^2}{2m_{1i}^*(z)} - \frac{\hbar^2}{2m_B^*} \right) \sum_{i=1}^{i=M} \underbrace{\int_{H_0-D+(i-1)\Delta L}^{H_0-D+i\Delta L} \sin \left[ \ell' \pi \left( \frac{1}{2} - \frac{z}{H_c} \right) \right] \sin \left[ \ell \pi \left( \frac{1}{2} - \frac{z}{H_c} \right) \right] dz}_{G_{\ell'\ell}^{WL}} + \\
& + \beta_{mn'}^* \beta_{mn} \delta_{mm'} \frac{k_{mn'} k_{mn}}{2} \times \\
& \sum_{j=1}^{j=N} \left\{ \int_0^{R_j} 2\pi r dr \{ [J_{m-1}(k_{mn'}r) J_{m-1}(k_{mn}r)] + [J_{m+1}(k_{mn'}r) J_{m+1}(k_{mn}r)] \} \times \right. \\
& \times \left. \left( \frac{\hbar^2}{2m_{1j}^*(z)} - \frac{\hbar^2}{2m_B^*} \right) \underbrace{\int_{H_0+(j-1)\Delta L}^{H_0+j\Delta L} \sin \left[ \ell' \pi \left( \frac{1}{2} - \frac{z}{H_c} \right) \right] \sin \left[ \ell \pi \left( \frac{1}{2} - \frac{z}{H_c} \right) \right] dz}_{G_{\ell'\ell}^{QD}} \right\}
\end{aligned} \tag{46}$$

Vamos avaliar as integrais  $G_{\ell'\ell}^{WL}$  e  $G_{\ell'\ell}^{QD}$ . Vamos integrá-las primeiramente na região da WL.

## Cálculo das integrais $G_{\ell'\ell}^{WL}$

- para  $\ell' \neq \ell$

$$\begin{aligned}
 G_{\ell'\ell}^{WL}(i) = & - \left( \frac{H_c}{2} \right) \frac{\sin \left[ \pi(\ell' + \ell) \left( \frac{1}{2} - \frac{(H_0 - D + (j-1)\Delta L)}{H_c} \right) \right]}{(\ell' + \ell)\pi} \\
 & + \left( \frac{H_c}{2} \right) \frac{\sin \left[ \pi(\ell' - \ell) \left( \frac{1}{2} - \frac{(H_0 - D + (j-1)\Delta L)}{H_c} \right) \right]}{(\ell' - \ell)\pi} \\
 & - \left( \frac{H_c}{2} \right) \frac{\sin \left[ \pi(\ell' - \ell) \left( \frac{1}{2} - \frac{(H_0 - D + j\Delta L)}{H_c} \right) \right]}{(\ell' - \ell)\pi} \\
 & + \left( \frac{H_c}{2} \right) \frac{\sin \left[ \pi(\ell' + \ell) \left( \frac{1}{2} - \frac{(H_0 - D + j\Delta L)}{H_c} \right) \right]}{(\ell' + \ell)\pi}
 \end{aligned} \tag{47}$$

- para  $\ell' = \ell$

$$\begin{aligned}
 G_{\ell\ell}^{WL}(i) = & - \frac{H_c}{4\ell\pi} \sin \left[ \pi\ell \left( \frac{H_c - 2(H_0 - D + (j-1)\Delta L)}{H_c} \right) \right] \\
 & + \frac{H_c}{4\ell\pi} \sin \left[ \pi\ell \left( \frac{H_c - 2(H_0 - D + j\Delta L)}{H_c} \right) \right] + \frac{\Delta L}{2}
 \end{aligned} \tag{48}$$

Vamos agora calcular a integral  $G_{\ell'\ell}^{QD}$ . Observe que nesta integral da região do QD, o limite de integração superior depende, como antes, de  $r$ , ou seja,  $z = z(r)$ . Vamos agora avaliar estas integrais na região do quantum dot.

## Cálculo das integrais $G_{\ell'\ell}^{QD}$

- para  $\ell' \neq \ell$

$$\begin{aligned}
 G_{\ell'\ell}^{QD}(j) = & - \left( \frac{H_c}{2} \right) \frac{\sin \left[ \pi(\ell' + \ell) \left( \frac{1}{2} - \frac{(H_0 + (j-1)\Delta L)}{H_c} \right) \right]}{(\ell' + \ell)\pi} \\
 & + \left( \frac{H_c}{2} \right) \frac{\sin \left[ \pi(\ell' - \ell) \left( \frac{1}{2} - \frac{(H_0 + (j-1)\Delta L)}{H_c} \right) \right]}{(\ell' - \ell)\pi} \\
 & - \left( \frac{H_c}{2} \right) \frac{\sin \left[ \pi(\ell' - \ell) \left( \frac{1}{2} - \frac{(H_0 + j\Delta L)}{H_c} \right) \right]}{(\ell' - \ell)\pi} \\
 & + \left( \frac{H_c}{2} \right) \frac{\sin \left[ \pi(\ell' + \ell) \left( \frac{1}{2} - \frac{(H_0 + j\Delta L)}{H_c} \right) \right]}{(\ell' + \ell)\pi}
 \end{aligned} \tag{49}$$

- para  $\ell' = \ell$

$$\begin{aligned}
 G_{\ell\ell}^{QD}(j) = & - \frac{H_c}{4\ell\pi} \sin \left[ \pi\ell \left( \frac{H_c - 2(H_0 + (j-1)\Delta L)}{H_c} \right) \right] \\
 & + \frac{H_c}{4\ell\pi} \sin \left[ \pi\ell \left( \frac{H_c - 2(H_0 + j\Delta L)}{H_c} \right) \right] + \frac{\Delta L}{2}
 \end{aligned} \tag{50}$$

Portanto, a integral (II) da Eq. 21, que é a soma das integrais (i) (Eq. 29) + (ii) (Eq. 46) está completamente definida.

## 1.5 Cálculo da terceira integral dos elementos de matriz $A_{lmnl'm'n'}$

$$\begin{aligned}
(III) = & -\beta_{mn'}^* \beta_{mn} \delta_{mm'} \int_0^{R_c} 2\pi r dr J_m(k_{mn'}r) J_m(k_{mn}r) \times \\
& [V_{oi}(z)] \times \underbrace{\sum_{i=1}^{i=M} \int_{H_0-D+(i-1)\Delta L}^{H_0-D+i\Delta L} \sin\left[\ell'\pi\left(\frac{1}{2} - \frac{z}{H_c}\right)\right] \sin\left[\ell\pi\left(\frac{1}{2} - \frac{z}{H_c}\right)\right] dz}_{G_{\ell'\ell}^{WL}} + \\
& -\beta_{mn'}^* \beta_{mn} \delta_{mm'} \sum_{j=1}^{j=N} \left\{ \int_0^{R_j} 2\pi r dr J_m(k_{mn'}r) J_m(k_{mn}r) \times \right. \\
& \left. [V_{oi}(z)] \times \underbrace{\int_{H_0+(j-1)\Delta L}^{H_0+j\Delta L} [V_{oi}(z)] \sin\left[\ell'\pi\left(\frac{1}{2} - \frac{z}{H_c}\right)\right] \sin\left[\ell\pi\left(\frac{1}{2} - \frac{z}{H_c}\right)\right] dz}_{G_{\ell'\ell}^{QD}} \right\} +
\end{aligned} \tag{51}$$

Observe que embora o potencial varie em  $z$ , as integrais são feitas em cada monocamada, dentro da qual o potencial é constante. Por este motivo, o potencial pode sair de dentro da integral. A expressão anterior ainda pode ser reescrita como:

$$\begin{aligned}
(III) = & -\beta_{mn'}^* \beta_{mn} \delta_{mm'} \int_0^{R_c} 2\pi r dr J_m(k_{mn'}r) J_m(k_{mn}r) \times \sum_{i=1}^{i=M} [V_{oi}(z)] \times G_{\ell'\ell}^{WL}(i) \\
& -\beta_{mn'}^* \beta_{mn} \delta_{mm'} \sum_{j=1}^{j=N} \left\{ \int_0^{R_j} 2\pi r dr J_m(k_{mn'}r) J_m(k_{mn}r) \times [V_{oi}(z)] dz \times G_{\ell'\ell}^{QD}(j) \right\}
\end{aligned} \tag{52}$$

Observe que na expressão anterior já utilizamos o fato que  $V(r, \theta, z) = -V_0$ . Portanto, no programa, deve-se dar como dado de entrada apenas o valor do potencial em módulo, isto é,  $+V_0$ .

## 1.6 Elementos da matriz $A_{lmnl'm'n'}$

Para escrever os elementos de matriz vamos definir as seguintes constantes:

$$P = +\beta_{mn'}^* \beta_{mn} \delta_{mm'} \left(\frac{\ell'\pi}{H_c}\right) \left(\frac{\ell\pi}{H_c}\right) \tag{53}$$

$$Q = +\beta_{mn'}^* \beta_{mn} \delta_{mm'} \frac{k_{mn'} k_{mn}}{2} \tag{54}$$

Com os resultados obtidos nas seções anteriores e definido novas constantes para simplificar a notação podemos escrever os elementos de matriz como:

- $\ell' \neq \ell$

$$\begin{aligned}
A_{lmnlm'n'} = & + \left[ \frac{\hbar^2}{2m_B^*} \left( \frac{\ell^2 \pi^2}{H_c^2} + \frac{\alpha_{mn}^2}{R_c^2} \right) \right] \delta_{mm'} \delta_{nn'} + \\
& + \textcolor{red}{P} \int_0^{R_c} 2\pi r dr J_m(k_{mn'}r) J_m(k_{mn}r) \times \sum_{i=1}^{i=M} \left( \frac{\hbar^2}{2m_{2i}^*(z)} - \frac{\hbar^2}{2m_B^*} \right) \underbrace{F_{\ell'\ell}^{WL}(i)}_{\textcolor{red}{eq32}} \\
& + \textcolor{red}{P} \sum_{j=1}^{j=N} \left\{ \int_0^{R_j} 2\pi r dr J_m(k_{mn'}r) J_m(k_{mn}r) \times \left( \frac{\hbar^2}{2m_{2j}^*(z)} - \frac{\hbar^2}{2m_B^*} \right) \underbrace{F_{\ell'\ell}^{QD}(j)}_{\textcolor{red}{eq34}} \right\} \\
& + \textcolor{red}{Q} \int_0^{R_c} 2\pi r dr \{ [J_{m-1}(k_{mn'}r) J_{m-1}(k_{mn}r)] + [J_{m+1}(k_{mn'}r) J_{m+1}(k_{mn}r)] \} \\
& \times \left( \frac{\hbar^2}{2m_{1i}^*(z)} - \frac{\hbar^2}{2m_B^*} \right) \sum_{i=1}^{i=M} \underbrace{G_{\ell'\ell}^{WL}(i)}_{\textcolor{red}{eq47}} \\
& + \textcolor{red}{Q} \sum_{j=1}^{j=N} \left\{ \int_0^{R_j} 2\pi r dr \{ [J_{m-1}(k_{mn'}r) J_{m-1}(k_{mn}r)] + [J_{m+1}(k_{mn'}r) J_{m+1}(k_{mn}r)] \} \times \right. \\
& \times \left. \left( \frac{\hbar^2}{2m_{1j}^*(z)} - \frac{\hbar^2}{2m_B^*} \right) \underbrace{G_{\ell'\ell}^{QD}(j)}_{\textcolor{red}{eq49}} \right\} \\
& - \beta_{mn'}^* \beta_{mn} \delta_{mm'} \int_0^{R_c} 2\pi r dr J_m(k_{mn'}r) J_m(k_{mn}r) \times \sum_{i=1}^{i=M} [V_{oi}(z)] \times \underbrace{G_{\ell'\ell}^{WL}(i)}_{\textcolor{red}{eq47}} \\
& - \beta_{mn'}^* \beta_{mn} \delta_{mm'} \sum_{j=1}^{j=N} \left\{ \int_0^{R_j} 2\pi r dr J_m(k_{mn'}r) J_m(k_{mn}r) \times [V_{oi}(z)] dz \times \underbrace{G_{\ell'\ell}^{QD}(j)}_{\textcolor{red}{eq49}} \right\}
\end{aligned} \tag{55}$$



- $\ell' = \ell$

$$\begin{aligned}
A_{lmnlm'n'} = & + \left[ \frac{\hbar^2}{2m_B^*} \left( \frac{\ell^2 \pi^2}{H_c^2} + \frac{\alpha_{mn}^2}{R_c^2} \right) \right] \delta_{mm'} \delta_{nn'} + \\
& + \textcolor{red}{P} \int_0^{R_c} 2\pi r dr J_m(k_{mn'}r) J_m(k_{mn}r) \times \sum_{i=1}^{i=M} \left( \frac{\hbar^2}{2m_{2i}^*(z)} - \frac{\hbar^2}{2m_B^*} \right) \underbrace{F_{\ell'\ell}^{WL}(i)}_{\textcolor{red}{eq33}} \\
& + \textcolor{red}{P} \sum_{j=1}^{j=N} \left\{ \int_0^{R_j} 2\pi r dr J_m(k_{mn'}r) J_m(k_{mn}r) \times \left( \frac{\hbar^2}{2m_{2j}^*(z)} - \frac{\hbar^2}{2m_B^*} \right) \underbrace{F_{\ell'\ell}^{QD}(j)}_{\textcolor{red}{eq35}} \right\} \\
& + \textcolor{red}{Q} \int_0^{R_c} 2\pi r dr \{ [J_{m-1}(k_{mn'}r) J_{m-1}(k_{mn}r)] + [J_{m+1}(k_{mn'}r) J_{m+1}(k_{mn}r)] \} \\
& \times \left( \frac{\hbar^2}{2m_{1i}^*(z)} - \frac{\hbar^2}{2m_B^*} \right) \sum_{i=1}^{i=M} \underbrace{G_{\ell'\ell}^{WL}(i)}_{\textcolor{red}{eq48}} \\
& + \textcolor{red}{Q} \sum_{j=1}^{j=N} \left\{ \int_0^{R_j} 2\pi r dr \{ [J_{m-1}(k_{mn'}r) J_{m-1}(k_{mn}r)] + [J_{m+1}(k_{mn'}r) J_{m+1}(k_{mn}r)] \} \right. \\
& \times \left. \left( \frac{\hbar^2}{2m_{1j}^*(z)} - \frac{\hbar^2}{2m_B^*} \right) \underbrace{G_{\ell'\ell}^{QD}(j)}_{\textcolor{red}{eq50}} \right\} \\
& - \beta_{mn'}^* \beta_{mn} \delta_{mm'} \int_0^{R_c} 2\pi r dr J_m(k_{mn'}r) J_m(k_{mn}r) \times \sum_{i=1}^{i=M} [V_{oi}(z)] \times \underbrace{G_{\ell'\ell}^{WL}(i)}_{\textcolor{red}{eq48}} \\
& - \beta_{mn'}^* \beta_{mn} \delta_{mm'} \sum_{j=1}^{j=N} \left\{ \int_0^{R_j} 2\pi r dr J_m(k_{mn'}r) J_m(k_{mn}r) \times [V_{oi}(z)] dz \times \underbrace{G_{\ell'\ell}^{QD}(j)}_{\textcolor{red}{eq50}} \right\}
\end{aligned} \tag{56}$$

## 2 Ponto quântico tensionado

### 2.1 Potencial de confinamento na banda de condução

Em um QD tensionado, o potencial de confinamento dos elétrons é escrito como (veja a equação 4.9.5 na página 186 do livro do Chuang):

$$E_c(z) = \begin{cases} a_c(Tr(\epsilon)) & \text{na região do poço (QD+WL)} \\ \Delta E_c & \text{fora do poço} \end{cases} \quad (57)$$

onde  $Tr(\epsilon) = (\epsilon_{xx} + \epsilon_{yy} + \epsilon_{zz})$ . Nesta definição de  $E_c(z)$  as energias foram tomadas em relação ao fundo da banda de condução do poço de potencial não tensionado. Para entender a expressão 57, veja a figura 4.

Se tomarmos o fundo da banda de condução do GaAs como referência, podemos escrever que o potencial de confinamento para os elétrons dentro do QD+WL será:

$$V_{0e}(z) = \begin{cases} [\Delta E_c - a_c(\epsilon_{xx} + \epsilon_{yy} + \epsilon_{zz})] & \text{na região do poço (QD+WL)} \\ 0 & \text{fora do poço} \end{cases} \quad (58)$$

As componentes do tensor de tensão (strain) são definidos como (veja a equação 4.5.15 na página 148 do livro do Chuang)<sup>3</sup>:

$$\epsilon_{xx} = \epsilon_{yy} = \frac{a_{substrato} - a_{filme}(x)}{a_{filme}(x)} \quad (59)$$

$$\epsilon_{zz} = -\frac{2C_{12}}{C_{11}}\epsilon_{xx} \quad (60)$$

onde  $a_{substrato}$  é o parâmetro de rede do substrato e  $a_{filme}(x)$  é o parâmetro de rede do filme (que depende da composição  $x$  se o filme for a liga de InGaAs).

As descontinuidades de gap para a banda de valência e de condução são calculadas por:

$$\Delta E_c = 0.70\Delta E_g(x) \quad (61)$$

$$\Delta E_v = 0.30\Delta E_g(x)$$

onde assumimos um offset de 70% para a banda de condução e 30% para a banda de valência. Estes valores de offset são controversos e pode-se também adotar 60%/40%.

A variação do gap entre os dois materiais é calculada como:

$$\Delta E_g = E_g^{nt}(substrato) - E_g^{nt}(filme) \quad (62)$$

onde  $E_g^{nt}(substrato)$  é a energia do gap do substrato e  $E_g^{nt}(filme)$  é a energia do gap do filme. Na Tabela 2 mostramos os parâmetros que serão usados para descrever o material puro InAs sobre GaAs (para descrever a região da interface entre a WE e o substrato de GaAs). Fazendo interpolação linear entre os parâmetros de GaAs e InAs obtemos as expressões que nos permite calcular os parâmetros para a liga de  $In_xGa_{1-x}As$  sobre GaAs (interface entre a região do QD e o GaAs). Fazendo interpolação linear obtemos as expressões que nos permite calcular os parâmetros para a liga de  $In_xGa_{1-x}As$ . Na Fig. 5 mostramos a variação de gap  $\Delta E_c(x)$

---

<sup>3</sup>S. L. Chuang, *Physics of optoelectronic devices*, (Wiley, New York, 1995)



Figura 4: Diagrama mostrando o perfil da banda de condução  $E_c(z)$  que tem como referência o fundo da banda de condução do poço **não** tensionado, ou seja, as energias são medidas a partir desta referência.

entre o InGaAs/GaAs para  $T=2,77,300$  K e também a variação de potencial por causa da tensão. Podemos observar que para  $T=2$  K e 77 K não há nenhuma variação em  $\Delta E_c(x)$ . Logo o cálculo dos níveis de confinamento para estas duas temperaturas deve dar os mesmos resultados. Apenas na hora de calcular uma transição da banda de valência para a banda de condução o valor do gap com a temperatura vai influenciar no resultado final.

Tabela 1: Parâmetros que serão usados no cálculo da tensão para a interface GaAs/InAs.

Parameters	GaAs	InAs
$a_0(\text{\AA})$	5.6533	6.0584
$a_c(\text{eV})$	-7.17	-5.08
$a_v(\text{eV})$	1.16	1.00
$b(\text{eV})$	-1.7	-1.8
$C_{11}(10^{11}\text{dyn/cm}^2)$	12.23	8.33
$C_{12}(10^{11}\text{dyn/cm}^2)$	5.71	4.53

<sup>(a)</sup>Todos os parâmetros foram retirados da referência C. G. Van de Walle, Phys. Rev. B39, 1871 (1989), exceto os parâmetros de rede. <sup>(a)</sup>Parâmetros de rede foram tirados de S. L. Chuang, *Physics of Optoelectronic Devices*, pag. 150 (Wiley, New York, 1995.)

## 2.2 Potenciais de confinamento na banda de valência

Vamos agora calcular o potencial de confinamento para buracos pesados e leves na banda de valência. De acordo com o livro do Chuang (página 187) temos:

$$E_{HH}(z) = \begin{cases} -P_\epsilon - Q_\epsilon & \text{na região do poço (QD+WL)} \\ -\Delta E_v & \text{fora do poço} \end{cases} \quad (63)$$

$$E_{LH}(z) = \begin{cases} -P_\epsilon + Q_\epsilon & \text{na região do poço (QD+WL)} \\ -\Delta E_v & \text{fora do poço} \end{cases} \quad (64)$$

onde

$$P_\epsilon = -a_v(\epsilon_{xx} + \epsilon_{yy} + \epsilon_{zz}) \quad (65)$$

$$Q_\epsilon = -\frac{b}{2}(\epsilon_{xx} + \epsilon_{yy} - 2\epsilon_{zz}) \quad (66)$$

Nestas definições, foi adotado que a referência é o topo da banda de valência do poço não tensionado (veja a figura 7).

De acordo com estas definições, podemos definir o potencial de confinamento para buracos pesados como:

$$V_{HH}(x) = \begin{cases} -\{-\Delta E_v - (-P_\epsilon + Q_\epsilon)\} & \text{na região do poço (QD+WL)} \\ 0 & \text{fora do poço} \end{cases} \quad (67)$$

Tabela 2: Parâmetros que serão usados no cálculo da tensão para a interface GaAs/ $In_xGa_{1-x}As$ .

Parameters	$In_xGa_{1-x}As$
$a_0(\text{\AA})$	$6.0584x + (1 - x)5.6533$
$a_c(\text{eV})$	$-5.08x - (1 - x)7.17$
$a_v(\text{eV})$	$1.00x + (1 - x)1.16$
$b(\text{eV})$	$-1.8x - (1 - x)1.7$
$C_{11}(10^{11}\text{dyn/cm}^2)$	$8.33x + (1 - x)12.23$
$C_{12}(10^{11}\text{dyn/cm}^2)$	$4.53x + (1 - x)5.71$
$E_g^{nt}(x)(\text{eV})$ para $T = 2 \text{ K}$	$1.5192 - 1.5837x + 0.475x^2$
$E_g^{nt}(x)(\text{eV})$ para $T = 77 \text{ K}$	$1.508 - 1.47x + 0.375x^2$
$E_g^{nt}(x)(\text{eV})$ para $T = 300 \text{ K}$	$1.43 - 1.53x + 0.45x^2$

<sup>(a)</sup> A interpolação linear entre parâmetros dos materiais puros pode ser feita como:  $a(x) = xa(\text{AC}) + (1-x)a(\text{BC})$ . Veja a página 1879 do artigo de C. G. Van de Walle, Phys. Rev. B39, 1871 (1989).

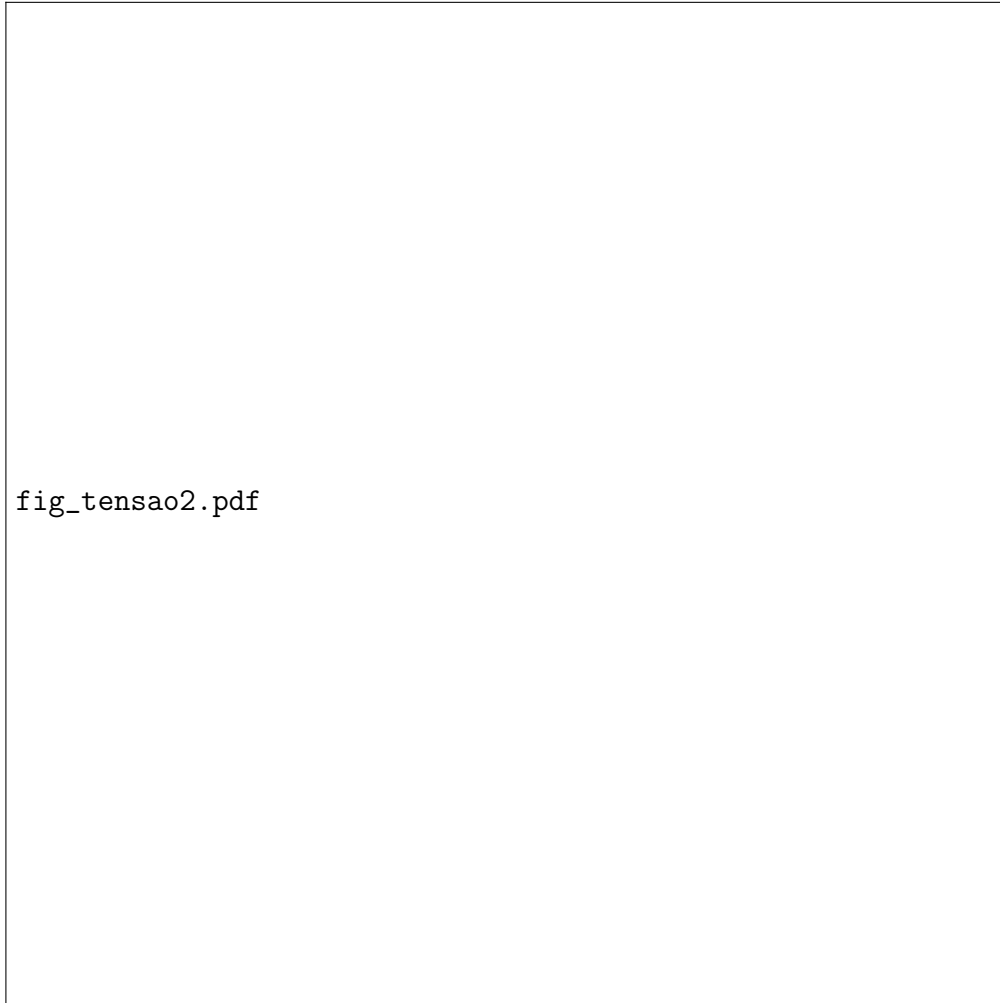


Figura 5: Variação de gap  $\Delta E_c(x)$  entre a liga de  $In_xGa_{1-x}As$  e o GaAs em função da concentração de In. A curva em preto representa o termo  $a_c(\epsilon_{xx} + \epsilon_{yy} + \epsilon_{zz})$ , que descreve a mudança no potencial da liga por causa da tensão.



Figura 6: Potencial de confinamento  $V_{0e}(x)$  em função da concentração de índio para as temperaturas  $T=2, 300$  K. Estas curvas foram obtidas com a expressão:  $V_{0e}(x) = [\Delta E_c - a_c(\epsilon_{xx} + \epsilon_{yy} + \epsilon_{zz})]$  (veja eq. 58 e a fig. 4). Observe que agora o potencial de confinamento para o InAs ( $x=1$ ) passou de  $\approx 680$  meV (veja a Fig. 5) para  $\approx 450$  meV.



Figura 7: Diagrama mostrando o perfil da banda de valência  $E_v(z)$  que tem como referência o fundo da banda de valência do poço **não** tensionado, ou seja, as energias são medidas a partir desta referência.



## Integrais na região da WL (eq. 32)

$$\begin{aligned}
 & \int_{H0-D+(j-1)\Delta L}^{H0-D+(j)\Delta L} \text{Cos}[a \times \text{ppi} \times (0.5 - z / Hc)] \times \text{Cos}[b \star \text{ppi} \star (0.5 - z / Hc)] \, dz \\
 & \frac{1}{(1. - a - 1. \cdot b) (a + b) \text{ppi}} Hc \\
 & \left( -1. \cdot (-0.5 \cdot a + 0.5 \cdot b) \text{Sin}\left[(a + b) \text{ppi} \left(0.5 - \frac{1. \cdot (-D + H0 + (-1 + j) \Delta L)}{Hc}\right)\right] + \right. \\
 & \quad \left. \text{Sin}\left[\frac{\text{ppi} (0.5 \cdot a Hc - 0.5 \cdot b Hc + 1. \cdot a (D - 1. \cdot H0 + \Delta L - 1. \cdot j \Delta L) - 1. \cdot b (D - 1. \cdot H0 + \Delta L - 1. \cdot j \Delta L))}{Hc}\right] + \right. \\
 & \quad \left. (-0.5 \cdot a - 0.5 \cdot b) \text{Sin}\left[\frac{\text{ppi} (0.5 \cdot a Hc - 0.5 \cdot b Hc - 1. \cdot a (-D + H0 + j \Delta L) + 1. \cdot b (-D + H0 + j \Delta L))}{Hc}\right] + \right. \\
 & \quad \left. (-0.5 \cdot a + 0.5 \cdot b) \text{Sin}\left[(a + b) \text{ppi} \left(0.5 - \frac{1. \cdot (-D + H0 + j \Delta L)}{Hc}\right)\right]\right) \\
 & \frac{1}{(a - b) (a + b) \pi} Hc \\
 & \left( \left( \frac{a - b}{2} \right) \text{Sin}\left[(a + b) \pi \left( \frac{1}{2} - \frac{(-D + H0 + (j - 1) \Delta L)}{Hc} \right)\right] + \left( \frac{a + b}{2} \right) \text{Sin}\left[ \frac{\pi (a - b)}{2} + \frac{\pi (a - b) (D - H0 + \Delta L - j \Delta L)}{Hc} \right] - \right. \\
 & \quad \left( \frac{a + b}{2} \right) \text{Sin}\left[ \frac{\pi (a - b)}{2} - \frac{\pi (a - b) (-D + H0 + j \Delta L)}{Hc} \right] - \left( \frac{a - b}{2} \right) \text{Sin}\left[(a + b) \pi \left( \frac{1}{2} - \frac{(-D + H0 + j \Delta L)}{Hc} \right)\right] \right) \\
 & \frac{1}{(a - b) (a + b) \pi} Hc \left( \left( \frac{a - b}{2} \right) \text{Sin}\left[(a + b) \pi \left( \frac{1}{2} - \frac{(-D + H0 + (j - 1) \Delta L)}{Hc} \right)\right] \right. \\
 & \quad + \left( \frac{a + b}{2} \right) \text{Sin}\left[\pi (a - b) \left( \frac{1}{2} + \frac{(D - H0 + \Delta L - j \Delta L)}{Hc} \right)\right] \\
 & \quad - \left( \frac{a + b}{2} \right) \text{Sin}\left[\pi (a - b) \left( \frac{1}{2} - \frac{(-D + H0 + j \Delta L)}{Hc} \right)\right] \\
 & \quad \left. - \left( \frac{a - b}{2} \right) \text{Sin}\left[(a + b) \pi \left( \frac{1}{2} - \frac{(-D + H0 + j \Delta L)}{Hc} \right)\right] \right) \\
 & 1) + \frac{1}{(a + b) \pi} \left( \frac{Hc}{2} \right) \text{Sin}\left[\pi (a + b) \left( \frac{1}{2} - \frac{(H0 - D + (j - 1) \Delta L)}{Hc} \right)\right]; \\
 & 2) + \frac{1}{(a - b) \pi} \left( \frac{Hc}{2} \right) \text{Sin}\left[\pi (a - b) \left( \frac{1}{2} - \frac{(H0 - D + (j - 1) \Delta L)}{Hc} \right)\right]; \\
 & 3) - \frac{1}{(a - b) \pi} \left( \frac{Hc}{2} \right) \text{Sin}\left[\pi (a - b) \left( \frac{1}{2} - \frac{(H0 - D + j \Delta L)}{Hc} \right)\right]; \\
 & 4) - \frac{1}{(a + b) \pi} \left( \frac{Hc}{2} \right) \text{Sin}\left[(a + b) \pi \left( \frac{1}{2} - \frac{(H0 - D + j \Delta L)}{Hc} \right)\right];
 \end{aligned}$$

## Integrais na região da WL (eq. 33)

$$\begin{aligned}
 \text{In}[2] &= \int_{H0-D+(j-1)\Delta L}^{H0-D+(j)\Delta L} \text{Cos}[a \times \text{ppi} \times (0.5 - z / Hc)] \times \text{Cos}[a \star \text{ppi} \star (0.5 - z / Hc)] \, dz \\
 \text{Out}[2] &= 0. \cdot D + 0. \cdot H0 + 0. \cdot Hc + 0.5 \Delta L + 0. \cdot j \Delta L + \\
 & \quad 0.25 Hc \text{Sin}\left[a \text{ppi} \left(1. - \frac{2. \cdot (-D + H0 + (-1 + j) \Delta L)}{Hc}\right)\right] - 0.25 Hc \text{Sin}\left[a \text{ppi} \left(1. - \frac{2. \cdot (-D + H0 + j \Delta L)}{Hc}\right)\right] \\
 & \quad a \text{ppi} \quad a \text{ppi} \\
 & \quad + \frac{1}{2} \Delta L + \frac{Hc \text{Sin}\left[a \pi \left(1 - \frac{2 (H0 - D + (j - 1) \Delta L)}{Hc}\right)\right]}{4 a \text{ppi}} - \frac{Hc \text{Sin}\left[a \pi \left(1 - \frac{2 (H0 - D + j \Delta L)}{Hc}\right)\right]}{4 a \text{ppi}}
 \end{aligned}$$

Figura 8: Equações 32 e 33 obtidas no MATHEMATICA.

## Integrais dos senos para a região dos QD (eq. 49)

$$\begin{aligned}
 \text{In[1]} &= \int_{H0+(j-1)\Delta L}^{H0+(j)\Delta L} \text{Sin}[a \times \text{ppi} \times (0.5 - z / Hc)] \times \text{Sin}[b \times \text{ppi} \times (0.5 - z / Hc)] \, dz \\
 \text{Out[1]} &= \frac{1}{(1. a - 1. b) (a + b) \text{ppi} Hc} \left[ (0.5 a + 0.5 b) \text{Sin} \left[ \text{ppi} (0.5 a Hc - 0.5 b Hc - 1. a (H0 + (-1 + j) \Delta L) + 1. b (H0 + (-1 + j) \Delta L)) \right] - \right. \\
 &\quad \left. 1. (0.5 a - 0.5 b) \text{Sin} \left[ (a + b) \text{ppi} 0.5 - \frac{1. (H0 + (-1 + j) \Delta L)}{Hc} \right] \right] + \\
 &\quad (-0.5 a - 0.5 b) \text{Sin} \left[ \text{ppi} (0.5 a Hc - 0.5 b Hc - 1. a (H0 + j \Delta L) + 1. b (H0 + j \Delta L)) \right] + \\
 &\quad (0.5 a - 0.5 b) \text{Sin} \left[ (a + b) \text{ppi} 0.5 - \frac{1. (H0 + j \Delta L)}{Hc} \right] \Bigg] \\
 &= \frac{1}{(a - b) (a + b) \pi} Hc \left( \left( \frac{a + b}{2} \right) \text{Sin} \left[ \pi (a - b) \left( \frac{1}{2} - \frac{\pi (H0 + (j - 1) \Delta L)}{Hc} \right) \right] - \left( \frac{a - b}{2} \right) \text{Sin} \left[ (a + b) \pi \left( \frac{1}{2} - \frac{(H0 + (-1 + j) \Delta L)}{Hc} \right) \right] \right) + \\
 &\quad \left( \frac{-a - b}{2} \right) \text{Sin} \left[ \frac{\pi (a - b)}{2} + \frac{\pi (-a + b) (H0 + j \Delta L)}{Hc} \right] + \left( \frac{a - b}{2} \right) \text{Sin} \left[ (a + b) \pi \left( \frac{1}{2} - \frac{(H0 + j \Delta L)}{Hc} \right) \right] \Bigg] \\
 &= a) + \frac{1}{(a - b) \pi} \left( \frac{Hc}{2} \right) \text{Sin} \left[ \pi (a - b) \left( \frac{1}{2} - \frac{\pi (H0 + (j - 1) \Delta L)}{Hc} \right) \right]; \\
 &= b) - \frac{1}{(a + b) \pi} \left( \frac{Hc}{2} \right) \text{Sin} \left[ (a + b) \pi \left( \frac{1}{2} - \frac{(H0 + (j - 1) \Delta L)}{Hc} \right) \right]; \\
 &= c) - \frac{1}{(a - b) \pi} \left( \frac{Hc}{2} \right) \text{Sin} \left[ \pi (a - b) \left( \frac{1}{2} - \frac{\pi (H0 + j \Delta L)}{Hc} \right) \right]; \\
 &= d) + \frac{1}{(a + b) \pi} \left( \frac{Hc}{2} \right) \text{Sin} \left[ (a + b) \pi \left( \frac{1}{2} - \frac{(H0 + j \Delta L)}{Hc} \right) \right]
 \end{aligned}$$

## Integrais dos senos para a região dos QD (eq. 50)

$$\begin{aligned}
 \text{In[1]} &= \int_{H0+(j-1)\Delta L}^{H0+(j)\Delta L} \text{Sin}[a \times \text{ppi} \times (0.5 - z / Hc)] \times \text{Sin}[a \times \text{ppi} \times (0.5 - z / Hc)] \, dz \\
 \text{Out[1]} &= 0. H0 + 0. Hc + 0.5 \Delta L + 0. j \Delta L - \frac{0.25 Hc \text{Sin} \left[ a \text{ppi} \left( 1. - \frac{2. (H0 + (-1 + j) \Delta L)}{Hc} \right) \right]}{a \text{ppi}} + \frac{0.25 Hc \text{Sin} \left[ a \text{ppi} \left( 1. - \frac{2. (H0 + j \Delta L)}{Hc} \right) \right]}{a \text{ppi}} \\
 &= \frac{1}{2} \Delta L - \frac{Hc \text{Sin} \left[ a \pi \left( 1 - \frac{2 (H0 + (-1 + j) \Delta L)}{Hc} \right) \right]}{4 a \pi} + \frac{Hc \text{Sin} \left[ a \text{ppi} \left( 1 - \frac{2 (H0 + j \Delta L)}{Hc} \right) \right]}{4 a \pi}
 \end{aligned}$$

Figura 9: Equações 49 obtidas no MATHEMATICA.